



## Zoning Land Surfaces of Shahroud Basin against the Occurrence of Landslides Using the Shannon Model


**Gholam Hassan Jafari <sup>a\*</sup>, Rouhollah Khodaei <sup>b</sup>**
<sup>a</sup>Associate Professor in Geomorphology, University of Zanjan, Zanjan, Iran

<sup>b</sup>MA in Geomorphology, University of Zanjan, Zanjan, Iran
*Received: 19 February 2022**Revised: 19 May 2022**Accepted: 29 May 2022*

### Abstract

Mass movements of materials are divided into slip, flow and creep, among of which landslides always cause heavy financial and economic losses worldwide. In this study, based on the analysis of landslides in Shahroud Basin, effective vectors were rated. Using ArcGIS software, the spatial distribution of 183 landslides in Shahroud basin was analyzed and interpreted in fault, waterway, road, lithology, slope, aspect, precipitation amount and height. According to the effect of different vectors, and the spatial distribution of landslides in Shahroud basin, points were scored and entropy matrix was adjusted for them and landslide occurrence in Shahroud basin was zoned. Based on the results of applying Shannon entropy model in Shahroud basin for landslide zoning in terms of landslides, high-risk zones accounted for 41.79% and an average of 52.76% of the basin area. The adaptation of landslide risk zones of Shahroud basin shows the concentration of 74.86% of landslides on slopes of 10-40°, 64.97% in marl, conglomerate, and basalt lithologies, 87.97% at altitudes 2123-823m, 85.79% in semi-arid and temperate rainfall classes (685-315mm) on land surfaces with slope in the western direction, 55.74% at a distance of 0-300m from the river, a distance of 0-500m from the fault and at a distance of 1000-500m from the road. The concentration of danger and landslide zones in the two central parts of Taleghan subspecies and after the joining of Alamut and Taleghan rivers and the formation of Shahroud River is more than other areas. Such changes in landslide distribution due to nonlinear compliance of this geomorphological event are influential factors. The occurrence of landslides is a function of the interaction between factors rather than their abstract effects.

**Keywords:** Landslide, Shahroud, Shannon Entropy, Alamut, Taleghan

\*Corresponding author: Gholam Hassan Jafaria Email: jafarihas@znu.ac.ir Tel:+989177519227

**How to cite this Article:** Kazemi, H., & Shariati, R. (2022). Analysis of subsidence status in Hamedan urban area using radar and satellite images. *Journal of Geography and Environmental Hazards*, 12(4), 253-274.

DOI:10.22067/geoeh.2022.75401.1183



Journal of Geography and Environmental Hazards are fully compliant with open access mandates, by publishing its articles under Creative Commons Attribution 4.0 International License (CC BY 4.0).



Creative Commons Attribution 4.0 International License (CC BY 4.0)



## Geography and Environmental Hazards

Volume 12, Issue 4 - Number 48, Winter 2024

<https://geoeh.um.ac.ir> <https://doi.org/10.22067/geoeh.2022.75401.1183>

جغرافیا و مخاطرات محیطی، سال دوازدهم، شماره چهل و هشتم، زمستان ۱۴۰۲، صص ۲۷۴-۲۵۳

مقاله پژوهشی

### پهنه بندی سطوح ارضی حوضه شاهروド در مقابل وقوع زمین‌لغزش به کمک مدل شانون

غلام‌حسن جعفری<sup>۱</sup> - دانشیار گروه جغرافیای طبیعی، دانشگاه زنجان، زنجان، ایران.روح‌الله خدابی<sup>۲</sup> - کارشناسی ارشد ژئومورفولوژی، دانشگاه زنجان، زنجان، ایران.

تاریخ دریافت: ۱۴۰۰/۱۱/۳۰ تاریخ بازنگری: ۱۴۰۱/۲/۲۹ تاریخ تصویب: ۱۴۰۱/۳/۸

#### چکیده

جابه‌جایی مواد یکی از رخدادهای سطوح ارضی شیبدار است؛ برای کاهش خطرات ناشی از چنین حرکاتی، شناخت دقیق مکان‌های در معرض خطر بسیار مؤثر است؛ یکی از مشکلات چنین رخدادهایی، عدم توانایی محقق در شناخت تمام و کامل عوامل مؤثر بر آن‌هاست و حتی در صورت شناخت، میانکنش‌های عوامل، ناشناخته باقی می‌ماند. در این بررسی تلاش شده است بر اساس تحلیل موقعیت زمین‌لغزش‌های حوضه شاهرود، به عوامل مؤثر امتیاز داده شود. با استفاده از نرم‌افزار ArcGIS، موقعیت مکانی ۱۸۳ زمین‌لغزش نقطه‌ای حوضه شاهرود، با توجه به عوامل خطی گسل، آبراهه و جاده و عوامل سطحی لیتولوژی، شب، جهت شب، مقدار بارش و ارتفاع، تحلیل و تفسیر گردید؛ ماتریس آنتروپی برای آن‌ها تنظیم و سطوح ارضی حوضه شاهرود از نظر رخداد زمین‌لغزش، به کمک مدل شانون پهنه‌بندی گردید. بر اساس نتایج کاربرد مدل آنتروپی شانون، پهنه‌های پرخطر ۴۱/۷۹٪ و متوسط ۵۲/۷۶٪ از مساحت حوضه را به خود اختصاص داده‌اند. انطباق زمین‌لغزش‌های رخداده با عوامل مؤثر بر زمین‌لغزش، تمرکز ۷۴/۸۶ درصد از زمین‌لغزش‌ها در شب‌های ۱۰-۴۰ درصد، ۶۴/۹۷ درصدی آن‌ها در لیتولوژی‌های مارن - سیلتستون، کنگلومرا و بازالت، ۸۷/۹۷ درصدی آن‌ها در ارتفاع بین ۸۲۳-۲۱۶۹ متر، ۸۵/۷۹ درصدی آن‌ها در طبقات بارشی نیمه‌خشک و معتدل (۳۱۵-۶۸۵ میلی‌متر) در سطوح ارضی با شبیه

Email: jafarihas@znu.ac.ir

۱ نویسنده مسئول: ۰۹۱۷۷۵۱۹۲۲۷

نحوه ارجاع به این مقاله:

جهنگردی، غلام‌حسن؛ خدابی، روح‌الله. (۱۴۰۲). پهنه بندی سطوح ارضی حوضه شاهرود در مقابل وقوع زمین‌لغزش به کمک مدل شانون. *جغرافیا و مخاطرات محیطی*. ۲۵۳-۲۷۴ (۱۲). صص ۶۸۵-۳۱۵.

<https://doi.org/10.22067/geoeh.2022.75401.1183>

در جهت غربی، ۵۵/۷۴ درصدی آنها در فاصله ۳۰۰-۰ متر از رودخانه و ۰-۵۰۰ متری از گسل و در فاصله ۱۰۰۰-۵۰۰ متر از جاده را مورد تأیید قرار می‌دهد. چنین تغییراتی در توزیع زمین‌لغزش ناشی از تبعیت غیرخطی این رخداد ژئومورفولوژیکی از عوامل اثرگذار است؛ وقوع زمین‌لغزش تابعی از برهمکنش بین عوامل است تا اثرگذاری آنها به صورت مجرد و انتزاعی.

**کلیدواژه‌ها:** زمین‌لغزش، شاهروド، مدل آنتروپی شانون، الموت، طالقان.

#### ۱- مقدمه

دامنه‌های پوشیده از مواد رسی یا خاک ضخیم، اگر کاملاً خیس و مرطوب گردد، به صورت توده‌ای از ناحیه بالای دامنه جدا شده و در طول دامنه، به صورت یک زبانه گلی و یا جریانی از مواد گل آلود جابه‌جا می‌شود (خیام، ۱۳۸۹). این گونه حرکات توده‌ای مواد روی دامنه به سه طبقه لغزشی، جریانی و خرزشی تقسیم می‌شود. در لغزش کامل (ویژه) سرعت حرکت مواد در همه نقاط از بالا تا پایین یکسان و از نوع انتقالی است. در جریان کامل (خالص) سرعت حرکت مواد در بخش بالایی توده جریانی بیشتر از بخش زیرین و از نوع انتقالی است ولی در خرزش (جابه‌جایی)، حرکت مواد به صورت قائم است (مقمی و همکاران، ۱۳۸۷). زمین‌لغزش از جمله حرکات دامنه‌ای است که تحت تأثیر عوامل مختلفی رخ می‌دهد؛ این رخداد ژئومورفولوژیکی در سطح جهان، موجب مرگ و میر سالانه هزاران نفر و خسارت‌های سنگین مالی و اقتصادی به مناطق مسکونی می‌شود (محمدخان، ۱۳۹۳). در تحلیل فضایی رخدادهای ژئومورفولوژیک، عوامل متعددی نقش دارند؛ فرم‌ها به عنوان برونداد فرایندها نه تنها تحت تأثیر عوامل مختلف قرار دارند، بلکه به شدت متأثر از میانکنش‌های هر یک از آنها هستند. برای درک اثرگذاری میانکنش‌ها در رخدادهای ژئومورفولوژیک، نباید در شناسایی پدیده، تأثیر یک یا چند عنصر شناخته شده را بیشتر از سایر عناصر دانست؛ و اصل و اساس شناخت هر پدیده را به چگونگی ظهور آن قرار داد؛ در وقوع بسیاری از رخدادهای ژئومورفیک میانکنش‌های متعددی دخالت دارند که شناخت دقیق همه آنها مقدور نیست؛ معمولاً محققان با هر تحقیق، سعی می‌کنند واقعیت پدیدار را به حقیقت نزدیک‌تر کنند.

از آنجاکه پیش‌بینی زمان وقوع زمین‌لغزش‌ها مشکل است، شناسایی مناطق حساس به زمین‌لغزش و پنهان‌بندی این مناطق بر اساس پتانسیل خطر ناشی از بروز این پدیده، اهمیت خاصی دارد (مصطفایی و همکاران، ۱۳۸۸)؛ در همین راستا کنس坦تن<sup>۱</sup> و همکاران (۲۰۱۱) به ارزیابی حساسیت زمین‌لغزش با استفاده از تجزیه و تحلیل آماری دو متغیره و شاخص آنتروپی در حوضه سیبیکیو (رومانی) پرداختند. در این مطالعه لایه حساسیت به زمین‌لغزش، بر اساس پارامترهای اثرگذار بر وقوع آن (زاویه شبیب، جهت شبیب، انحناء، سنگ‌شناسی و کاربری زمین) تهیه گردید. لایه حساسیت به پنج طبقه تقسیم شد که مناطق با حساسیت زمین‌لغزش بسیار کم تا بسیار زیاد را نشان می‌دهد.

**پورقالسمی و همکاران (۲۰۱۲)**، در ارزیابی حساسیت به زمین‌لغزش، پارامترهای مشتق شده از داده‌های سنجش از دور قسمت شرقی استان گلستان از شهرستان کلاله را با استفاده از آنتروپی شانون در ArcGIS، مورد مطالعه قرار دادند. برای اعتبارسنجی مدل، نتایج تجزیه و تحلیل‌ها را با مکان زمین‌لغزش‌های رخداده در سطح زمین مقایسه شد. علاوه بر این، منحنی‌های ویژگی‌های عملیاتی گیرنده (ROC) برای نقشه‌های حساسیت زمین‌لغزش ترسیم شد و مساحت زیر مقادیر منحنی محاسبه شد. نتایج تأیید صحت ۸۲/۵ درصد را نشان داد. با توجه به نتایج ارزیابی AUC (منطقه زیر منحنی)، نقشه تولید شده ویژگی‌های رضایت‌بخشی را نشان داد. شادمان رودپوشتی و همکاران (۲۰۱۶) با استفاده از روش ترکیبی توابع فازی و آنتروپی شانون مبتنی بر GIS به ارزیابی نقشه حساسیت زمین‌لغزش (LSM) در منطقه ایذه خوزستان پرداختند. عملکرد روش ترکیبی پیشنهادی نسبت به رویکردهای ارزیابی چندمعیاره با استفاده از یک طرح ذهنی، در مقایسه با استفاده از همان مجموعه داده‌ها، از طریق ارزیابی چندمعیاره فازی توسعه یافته، برتری داشت.

**ژائو<sup>۱</sup> و همکاران (۲۰۱۷)** بر اساس آنتروپی شانون، فرآیند سلسله‌مراتب تحلیلی (AHP) و روش جامع فازی را در شهرستان ژنان از استان شاهانشی برای ارزیابی حساسیت زمین‌لغزش استفاده نمودند. نتایج نشان داد مدل پیشنهادی حساسیت به زمین‌لغزش می‌تواند به تهیه نقشه‌های حساس‌تر و دقیق‌تر کمک کند که نه تنها از اطلاعات حاصل از داده‌های اصلی بهره می‌برد، بلکه دانش یک متخصص و نظرات تصمیم‌گیرندگان را نیز منعکس می‌کند. **مقیمی و همکاران (۱۳۹۱)** با بررسی فرسایش در حوضه‌ی آبخیز رودخانه سور فدامی (استان فارس) با روش توصیفی – تحلیلی بر پایه آنتروپی به این نتیجه رسیدند که فرسایش زیادی در قسمت‌های مختلف آبخیز تحت تأثیر شیب ایجاد می‌شود و در بین سازندهای زمین‌شناسی، سازندهای سست کواترنری فرسایش بیشتری می‌یابد. **مقیمی و همکاران (۱۳۹۱)**، خطر وقوع زمین‌لغزش را در تاقدیس نسار زاگرس شمال غربی با استفاده از مدل آنتروپی، روش‌های میدانی و کتابخانه‌ای پهنه‌بندی نمودند. نتایج دال بر این است که مدل آنتروپی کارایی مطلوبی در برآورد میزان خطر رخداد زمین‌لغزش دارد و ارتفاع، شیب، فاصله از گسل، جهت شیب و لیتولوژی به ترتیب بیشترین نقش را در رخداد زمین‌لغزش دارند. **فلاح و همکاران (۱۳۹۸)** در پهنه‌بندی احتمال وقوع زمین‌لغزش، در منطقه رودبار الموت شرقی استان قزوین، با استفاده از مدل‌های آنتروپی شانون و ارزش اطلاعات در محیط ArcGIS دریافتند که هر دو مدل آنتروپی شانون و ارزش اطلاعات در برآورد پهنه‌های خطر متوسط، زیاد و خیلی زیاد می‌تواند مناطق مستعد زمین‌لغزش را به خوبی شناسایی کند؛ مقدار شاخص احتمال تجربی این عملکرد ۸۶ درصد است؛ البته در برآورد پهنه‌های خطر زیاد و خیلی زیاد، مدل ارزش اطلاعات در مقایسه با مدل آنتروپی شانون از قابلیت بهتری برخوردار بود. **دارابی شاهماری و همکاران (۱۳۹۸)**، حساسیت زمین‌لغزش ارتفاعات شهرستان دالاهو را با استفاده از مدل رگرسیون لجستیک و شاخص آنتروپی برآورد نمودند. نتایج اعتبارسنجی نشان می‌دهد شاخص مدل آنتروپی

(AUC=۰/۸۶) در برآورد حساسیت زمین‌لغزش در منطقه موردمطالعه نسبت به مدل رگرسیون لجستیک (AUC=۰/۸۰) از صحت بیشتر و در نتیجه قابلیت اعتماد بالاتری برخوردار است. [روستایی و همکاران \(۱۳۹۹\)](#)، پنهانی خطر زمین‌لغزش در حوضه آبریز طالقان با استفاده از شاخص آتروپی شانون برسی نمودند، در این تحقیق با استفاده از تصاویر ماهواره‌ای ASAR از سنجنده ENVISAT در سال‌های ۲۰۰۳ تا ۲۰۰۹ و بازدیدهای صحرایی ۱۷ پنهانی لغزشی به صورت انتخابی شناسایی و نقشه پراکنش زمین‌لغزش‌های منطقه موردمطالعه در محیط نرم‌افزار ArcGIS تهیه گردید. عوامل مؤثر با استفاده از شاخص آتروپی نشان داد که فاصله از رودخانه بیشترین تأثیر را بر وقوع زمین‌لغزش حوضه و عوامل شاخص رطوبت، زمین‌شناسی و شاخص موقعیت توپوگرافی کمترین تأثیر را داشته‌اند. [فیض‌اله پور و همکاران \(۱۴۰۰\)](#)، خطر زمین‌لغزش را در حوضه آبریز طالقان با استفاده از مدل آتروپی شانون پنهانی نمودند. عوامل مؤثر بر وقوع زمین‌لغزش به عنوان متغیرهای مستقل و پنهانی‌های لغزشی به عنوان متغیرهای وابسته در نظر گرفته شده است. پس از محاسبه شاخص آتروپی شانون مشخص شد، ۸۶ درصد از مساحت زمین‌لغزش‌ها در سه رده خطر متوسط، پرخطر و خیلی پرخطر قرار دارند.

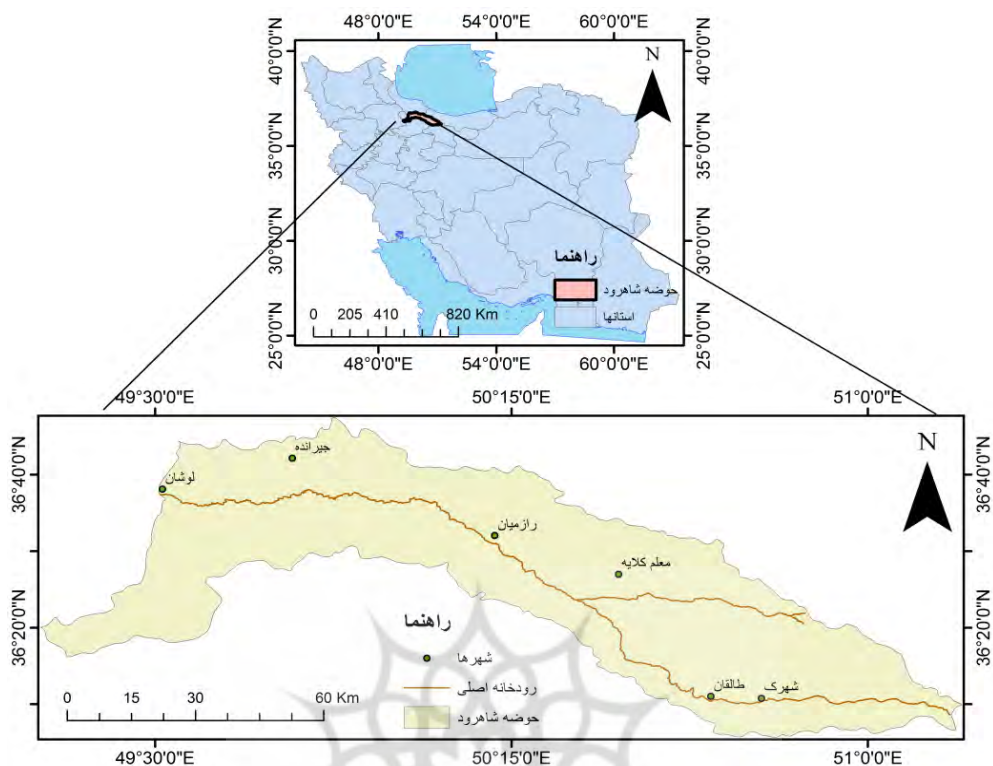
وقوع هر رخدادی در طبیعت به علل و عوامل متعددی وابسته است؛ محققان سعی می‌کنند با توجه به فضای وقوع هر رخداد، شرایط وقوع رخداد را شناسایی و رفتار آینده عوامل اثرگذار طبیعی را در ارتباط با وقوع آن رخداد پیش‌بینی نمایند؛ غافل از اینکه هیچ معرفت قطعی و ثابتی در مورد رخداد پدیدهای وجود ندارد؛ واقعیت فقط بر حسب فهم تأویل و دریافت محقق، دست‌یافتنی می‌شود و به قول ویتنگشتاین محقق آزاد است تا تصوراتش را بر پدیدار تحمیل نماید ([راس، ۱۳۸۹](#)). در چنین صورتی محقق بیشتر تمایل دارد به چیزهایی توجه کند که در نگاه اول یا حتی دقیق ولی سطحی‌نگر، ذهنش را درگیر می‌کند ([رولف، ۱۳۹۴](#)) فرایندها تحت تأثیر شرایط خاصی تجلی می‌یابند و در شرایط مختلف محیطی، از فرایند واحد، فرم‌های متفاوتی پدیدار می‌شود؛ به گونه‌ای که تحلیل شرایط برخاسته از رخداد از خود فرایند مهم‌تر می‌گردد که معمولاً در ساختارشناسی رخداد واحد اهمیت است و در غالب تحقیقات علمی مورد غفلت واقع می‌شود. نگاه انتزاعی و مجرد محقق علوم زمین به رخداد، منجر به جدایی پدیدار از شرایط محیطی گردیده و با تجزیه و تحلیل عوامل مؤثر بر رخداد، نتیجه‌ای گرفته می‌شود فارغ از وابستگی‌های فضایی- زمانی رخداد؛ و اینگونه تحلیل می‌شود که پدیدار در هر مکان و زمان در صورت فراهم بودن عوامل ، به وقوع می‌پیوندد غافل از اینکه همه عوامل مطرح شده در چنین مواردی فقط شروط لازم برای وقوع رخداد را فراهم می‌آورند نه شرط کافی و تامه را. در این روش چنین انگاشته می‌شد که اجزاء به گونه‌ای پیشگویی پذیر و بر پایه‌ی علیت فاعلی رفتار می‌کنند و اهمیت میانکنش بین اجزاء نادیده گرفته می‌شود؛ در صورتی که سرشت هر جزء، میانکش بین اجزا را در پی دارد. برای پنهانی بندی سطوح ارضی از نظر وقوع زمین‌لغزش، غالباً از عواملی همچون زاویه شیب، جهت شیب، سنگ‌شناسی، ارتفاع، فاصله از گسل و کاربری زمین استفاده شده است؛ متغیرهای وابسته به

هریک از عوامل، با توجه به توزیع فضایی زمین لغزش‌ها، اولویت بندی می‌شوند. در بسیاری از موارد، مبنای امتیازدهی به متغیرهای عوامل مؤثر بر زمین‌لغزش، این تصور را بوجود می‌آورد که با تناسب افزایش یا کاهش متغیر وابسته به عوامل، مقدار اثرگذاری نیز کاهش یا افزایش می‌یابد؛ در صورتی که در عمل امکان امتیاز یک متغیر در بعضی از مقادیر عامل، روند صعودی داشته باشد و در برخی مقادیر دیگر، سیر نزولی به خود بگیرد؛ چه بسا این روند، در بازه‌های مختلف متغیر، چندین بار دستخوش تغییر شود. این مقاله، با توجه به عملکرد شاخص آنتروپی شانون، در پهنه بندی سطوح ارضی حوضه شاهرود در مقابل خطر زمین‌لغزش قصد دارد اثرگذاری عوامل اثرگذار را در متغیرهای مختلف وابسته با آن مورد بررسی قرار دهد. این بررسی شرایطی را فراهم می‌آورد تا بتوان به عوامل مؤثر در زمین‌لغزش در حوضه شاهرود به گونه‌ای توجه کرد که تا کنون منجر به وقوع زمین‌لغزش شده‌اند تا نگاه یک جانبه و تئوریک.

## ۲- مواد و روش‌ها

### ۱-۲- موقعیت منطقه مورد مطالعه

رودخانه شاهرود با مساحت ۴۸۴۵ کیلومتر مربع و طول ۱۲۵ کیلومتر به عنوان یکی از شاخه‌های اصلی سفیدرود از به هم پیوستن دو رودخانه الموت و طالقان (در شرق حوضه با طول ۴۹ و ۸۰ کیلومتر)، در ۱۱ کیلومتری جنوب آبادی شهرک، در محلی به نام شیرکوه تشکیل شده است (قهرمانی و ثروتی، ۱۳۸۷؛ پاسبان و همکاران، ۱۳۹۶). سفیدرود از به هم پیوستن شاهرود و قزل‌اوzen در نزدیکی سد منجیل به وجود می‌آید. حوضه شاهرود که بخش اصلی آن در استان قزوین واقع شده، استان‌های البرز، زنجان، گیلان و مازندران را نیز در بر می‌گیرد. حوضه شاهرود با وسعت ۴۸۷۱ کیلومتر مربع، در عرض‌های جغرافیایی ۳۶ درجه و ۵ دقیقه تا ۳۶ درجه و ۴۷ دقیقه عرض شمالی و ۴۹ درجه و ۱۵ دقیقه تا ۵۱ درجه و ۱۱ دقیقه طول شرقی گسترده شده است (شرکت آب منطقه‌ای استان قزوین) (شکل ۱).



شكل ۱- موقعیت جغرافیایی حوضه شاهروド

طول این رودخانه از سرچشمۀ طالقان رود تا خروجی حوضه شاهرود، ۲۰۴ کیلومتر و از سرچشمۀ الموت رود تا خروجی حوضه شاهرود، ۱۵۷/۵ کیلومتر می‌باشد. این حوضه کوهستانی با دینامیک بالای فرسایش رودخانه‌ای و آبی، سالانه مقدار زیادی رسوب از سطح حوضه منفک گشته و به نواحی پایین دست حمل و نهایتاً در مخزن سد سفید رود و درسطح اراضی انباشته می‌شود (قهرمانی و ثروتی، ۱۳۸۷: ۴۶). ارتفاع وزنی حوضه ۲۳۰۹ متر و از نظر توپوگرافی منطقه کوهستانی و ناهموار است (خسروی و همکاران، ۱۳۹۱: ۳۴۳). حوضه شاهرود به دو بخش الموت شرقی (به مرکز معلم کلایه) و الموت غربی (به مرکز رازمیان) تقسیم می‌شود. واحدهای زمین‌شناسی حوضه آبریز مورد نظر در بخش شرقی و بالادرست، عمدهاً آوارهای میوسن، در بخش میانی ترکیبی از واحدهای آتشفسانی ائوسن و برخی سازندۀای مژوزویک و در پایین دست حوضه، واحدهای آتشفسانی ائوسن می‌باشد (آلنر و همکاران، ۱۹۷۵).

## ۲-۲- روش انجام پژوهش

در این مقاله که نتیجه یک پژوهش کاربردی است سطوح ارضی حوضه شاهرود با کمک روش‌های کتابخانه‌ای، بازدیدهای میدانی و مدل‌سازی، در مقابل رخداد زمین‌لغزش به بهترین شکل ممکن پنهان بندی شده است. نقشه‌های

توبوگرافی ۱:۵۰۰۰۰، زمین‌شناسی ۱:۲۵۰۰۰ و تصاویر گوگل ارث منطقه، به عنوان ابزار اصلی، کمک زیادی به شناسایی مقدار اثرگذاری عوامل مؤثر در زمین‌لغزش نمود. با استفاده از نرم‌افزار ArcGIS10.3، توزیع فضایی ۱۸۳ زمین‌لغزش حوضه شاهرود، استخراج شده از سایت علوم زمین، با توجه به عوامل خطی گسل، آبراهه، جاده و عوامل سطحی لیتوژئی، شبیب، جهت شبیب، مقدار بارش و ارتفاع، مورد تجزیه و تحلیل قرار گرفت. لایه‌های اطلاعاتی موردنیاز (شبیب، جهت شبیب، لیتوژئی، طبقات ارتفاعی، فاصله از رودخانه، فاصله از جاده، فاصله از گسل و بارش) به عنوان عوامل اثرگذار بر وقوع زمین‌لغزش، در محیط ArcGIS10.3 تهیه شد؛ مدت بارش و نوع آن، برف یا باران، از عوامل تأثیرگذار بر روی حرکات دامنه‌ای است. دوره بارشی بر اساس دوره ۳۰ ساله از سال ۱۳۹۵ تا ۱۳۶۵ از سازمان وزارت نیرو (شرکت مدیریت منابع آب ایران)، دفتر مطالعات پایه منابع آب اخذ و مورداستفاده قرار گرفت. سپس موقعیت مکانی ۱۸۳ زمین‌لغزش، در هر کدام از لایه‌های استخراجی به صورت جداگانه بررسی و مقر آن‌ها شناسایی و استخراج گردید؛ نتایج توزیع مکانی زمین‌لغزش‌ها، امتیازدهی به عوامل مختلف را بر اساس اثرگذاری آن‌ها در بازه‌های متفاوت به همراه داشت؛ با امتیاز دهی به عوامل مختلف اثرگذار در متغیرهای مختلف و پردازش آن‌ها، در نرم افزار ArcGIS10.3، از لایه وکتوری به لایه رستری تبدیل گردیدند. برای داده‌های استخراجی از لایه‌های مختلف، بر اساس منابع استنادی امتیاز داده شد و بعد از طبقه‌بندی لایه‌ها، ماتریس آنتروپی شانون برای آن‌ها تنظیم گردید. ماتریس تصمیم‌گیری حاوی اطلاعاتی است که مدل آنتروپی می‌تواند به عنوان معیاری برای ارزیابی آن به کار رود ([مقیمه و همکاران، ۱۳۹۱](#)). با محاسبه ماتریس آنتروپی و وزن کل عوامل مؤثر بر وقوع زمین‌لغزش (هشت عامل)،  $W_j$ ، میزان  $H_j$ ، به عنوان ضریب وقوع خطر زمین‌لغزش به دست آمد و رخداد زمین‌لغزش حوضه شاهرود، بر اساس مدل شانون پهنه‌بندی گردید. مراحل روش تصمیم‌گیری چندمعیاره (MCDM) به ترتیب ذیل می‌باشد:

تشکیل ماتریس تصمیم (ستون‌ها عوامل مؤثر در زمین‌لغزش، سطرها تعداد زمین‌لغزش) و محاسبه وزن معیارها بر اساس روابط ([۱](#)، [۲](#)، [۳](#)، [۴](#) و [۵](#)):

$$r_{ij} = \frac{X_{ij}}{\sum X_{ij}} \quad (\text{رابطه } 1)$$

نمایش ماتریس تصمیم ([رابطه ۲](#)):

$$E_j = h \sum_{i=1}^m r_{ij} L_{nij} \quad j=1 \dots \quad (\text{رابطه } 2)$$

محاسبه آنتروپی هر شاخص ([رابطه ۳](#)):

$$h = \frac{1}{\ln(m)} \quad (\text{رابطه } 3)$$

محاسبه انحراف شاخص (رابطه ۴):

$$dj=1-Ej \quad (\text{رابطه } 4)$$

محاسبه وزن معیارها (رابطه ۵):

$$Wj = \frac{1-ej}{\sum_{j=1}^m (1-ej)} \quad (\text{رابطه } 5)$$

پس از محاسبه وزن کلی ( $Wj$ ), پنهانی خطر زمین‌لغزش با استفاده از رابطه زیر ارزیابی می‌شود (رابطه ۶).

$$Hj = \sum_{i=1}^m Wj \times Xij \quad (\text{رابطه } 6)$$

در رابطه ۶ ( $Hj$ ) ضریب رخداد زمین‌لغزش، ( $Wj$ ) وزن نهایی تمام عوامل، ( $Xij$ ) وزن هر یک از عوامل است

(شاہ زیدی، ۱۳۹۸: ۴۳).

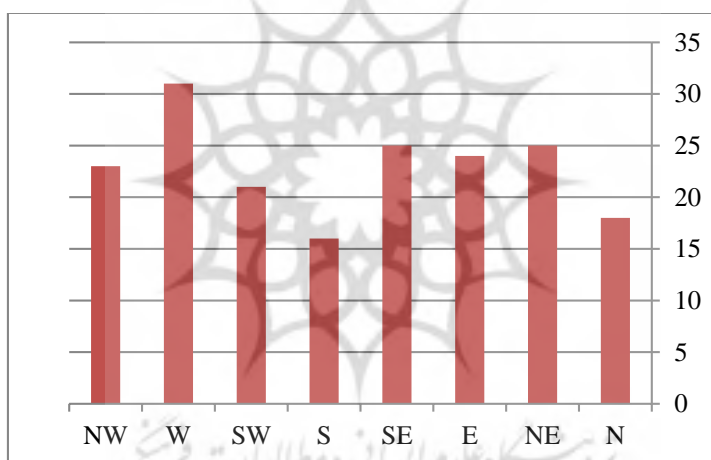
### ۳- نتایج و بحث

بررسی مکانی عوامل اثرگذار بر زمین‌لغزش با استفاده از لایه زمین‌لغزش‌های شناخته شده، لازمه کاربرد مدل آنتروپی شانون است؛ به این منظور ابتدا توزیع زمین‌لغزش‌های حوضه شاهروド، در لایه‌ی مربوط به هر یک از عوامل اثرگذار بر زمین‌لغزش بررسی شده است؛ بررسی لایه نوع لیتولوژی در رخداد زمین‌لغزش‌های حوضه شاهرود، دال بر این است که ۴۰/۹۳، ۴۰/۰۴، ۲۴/۰۲، ۱۲/۰۲ و ۱۱/۴۷ درصد از زمین‌لغزش‌ها به ترتیب در لیتولوژی مارن، بازالت، ماسه سنگ، توف سبز و آندزیت، و مجموعاً ۱۰/۸۹ درصد رسوبات آبرفتی، گابرو، کنگلومرا، گچ، سنگ آهک و دیوریت، رخداده است (جدول ۱). هم‌جواری لیتولوژی مارن و کنگلومرا، به علت حساسیت مارن، شرایط وقوع زمین‌لغزش را بسیار مساعد نموده است؛ به گونه‌ای که اکثر زمین‌لغزش‌های رخداده در لیتولوژی مارن در مجاورت کنگلومرا بوده است (شکل ۵ الف).

جدول ۱- رخداد زمین‌لغزش با توجه به لیتولوژی در حوضه شاهرود

دیوریت	سنگ آهک	کنگلومرا	گچ	گابرو	رسوبات آبرفتی	آندزیت	توف سبز	ماسه سنگ	بازالت	مارن، کنگلومرا	لیتولوژی
۱	۲	۳	۲	۱	۵	۷	۲۱	۲۲	۴۴	۷۵	تعداد لغزش
۰/۵۴	۰/۵۴	۱/۰۹	۱/۶۳	۰/۵۴	۲/۸۳	۳/۸۲	۱۱/۴۷	۱۲/۰۲	۲۴/۰۴	۴۰/۹۳	درصد لغزش

جهت شبیب به علت اثرگذاری بر زاویه ارتفاع خورشیدی و در نتیجه مقدار جذب انرژی خورشید، نگهداری رطوبت خاک و حفظ پوشش گیاهی (معیری و همکاران، ۲۰۱۱)، به طور غیرمستقیم بر وقوع زمین‌لغزش اثر می‌گذارد. سطوح ارضی با شبیب رو به شمال، به دلیل بهره‌مندی کمتر از نور خورشید، دمای پایین‌تر، تبخیر کمتر و رطوبت بیشتر خاک (احمدی، ۱۳۹۱) شرایط وقوع زمین‌لغزش را مساعدتر می‌نمایند. برای بررسی اثرگذاری جهت شبیب بر زمین‌لغزش، سطوح ارضی از نظر جهت شبیب در ۸ گروه شمالی (۰-۲۲/۵، ۲۳۳/۵-۰)، شمال شرقی (۲۲/۵-۶۷/۵)، شرقی (۱۱۲/۵-۲۶۷/۵)، جنوب شرقی (۱۱۲/۵-۱۵۷/۵)، جنوبی (۱۵۷/۵-۲۰۲/۵)، جنوب غربی (۲۰۲/۵-۲۴۷/۵)، غربی (۲۴۷/۵-۲۹۲/۵) و شمال غربی (۳۳۷/۵-۲۹۲/۵ درجه آزمیوت) تقسیم گردید (شکل ۲ و ۵) و تکرار زمین‌لغزش‌ها در جهات مختلف مورد ارزیابی قرار گرفت. جهات اکثر زمین‌لغزش‌های رخداده در لیتوژوژی‌های یکسان، تقریباً وضعیت قرینه‌ای با یکدیگر داشته‌اند، برای مثال تعداد زمین‌لغزش‌های رخداده در لیتوژوژی مارن، در شرق و غرب حوضه طالقان مساوی است (جدول ۲).



شکل ۲- رخداد زمین‌لغزش در سطوح ارضی با جهت‌های شبیب مختلف (N شمال، S جنوب، E شرق و W غرب)

میانگین ارتفاع وزنی حوضه ۲۳۰/۸/۸ است. توزیع زمین‌لغزش‌های رخداده حوضه شاهرود، در ۹ طبقه ارتفاعی بررسی گردید (شکل ۵ پ): ۸۸ درصد زمین‌لغزش‌ها در محدوده ارتفاعی ۸۶۳-۲۱۶۹ رخداده است (جدول ۳).

### جدول ۲- رخ داد زمین‌لغزش با توجه به جهت‌های شیب در حوضه شاهروド

لیتوژوئی	شمال	شمال شرق	شرق	جنوب شرق	جنوب	جنوب غرب	غرب	شمال غرب
مارن-شاهرود	۵	۹	۵	۵	۴	۱۲	۱۰	۸
مارن-طالقان	۳	-	۵	۲	۱	-	۵	۱
بازالت	۴	۷	۵	۴	۶	۴	۱۰	۴
ماسه سنگ	۲	۵	۴	۲	۳	۱	-	۵
توف سبز	۲	-	۳	۸	۱	۲	۱	۴
آندرزیت	۱	۱	-	۱	-	-	۲	۱
رسوبیات آبرفتی	-	۱	-	-	۱	-	-	۳
گابرو	-	-	-	۱	-	-	-	-
کنگلومرا	-	۱	-	-	۱	-	-	-
گچ	۱	-	-	۱	-	-	-	-
سنگ آهک	-	۱	-	-	-	-	-	-
دیوریت	-	-	-	-	-	-	-	-
جمع کل	۱۸	۲۵	۲۴	۲۵	۱۶	۲۱	۳۱	۲۳

### جدول ۳- رخ داد زمین‌لغزش در طبقات ارتفاعی حوضه شاهرود

رتبه مساحت	درصد مساحت	مساحت	تعداد لغزش	درصد لغزش	تعداد ارتفاع	طبقات
۸	۷۵	۳۱۶۰۹	۷	۱/۰۹	۲	۳۱۹_۸۶۳
۵	۱۱/۹۹	۵۸۳/۳۷	۴	۱۹/۱۲	۳۵	۸۶۳_۱۲۳۲
۲	۱۵/۳۲	۷۴۵/۵۱	۳	۲۱/۸۶	۴۰	۱۲۳۲_۱۵۶۳
۳	۱۴/۹	۷۲۴/۷۷	۲	۲۲/۹۵	۴۲	۱۵۶۳_۱۸۶۷
۱	۱۶/۱۲	۷۸۴/۲۹	۱	۲۴/۰۴	۴۴	۱۸۶۷_۲۱۶۹
۴	۱۲/۰۴	۵۸۵/۵۲	۵	۸/۷۴	۱۶	۲۱۶۹_۲۵۰۷
۶	۱۰/۷۲	۵۲۱/۳۲	۶	۱/۷۴	۳	۲۵۰۷_۲۸۸۴
۷	۸/۵۲	۴۱۴/۰۶	۸	۰/۵۵	۱	۲۸۸۴_۳۳۲۱
۹	۳/۹	۱۸۹/۰۹	-	-	-	۳۳۲۱_۴۳۲۱

تعداد زمین‌لغزش‌های رخ داده به تفکیک لیتوژوئی‌هایی که تعداد قابل ملاحظه‌ای زمین‌لغزش در آنها رخ داده بود، در طبقات شیبی مختلف و مجموع زمین‌لغزش در هر طبقه شیبی به تعداد و درصد مورد ارزیابی قرار گرفت (جدول ۴). بیشترین زمین‌لغزش در سطوح ارضی با شیب بین ۱۰ تا ۲۰ درصد به وقوع پیوسته است و کمترین زمین‌لغزش در سطوح ارضی با شیب ۴۰-۶۰ درصد اتفاق افتاده است. در اغلب لیتوژوئی‌ها، تراکم زمین‌لغزش‌ها در سطوح

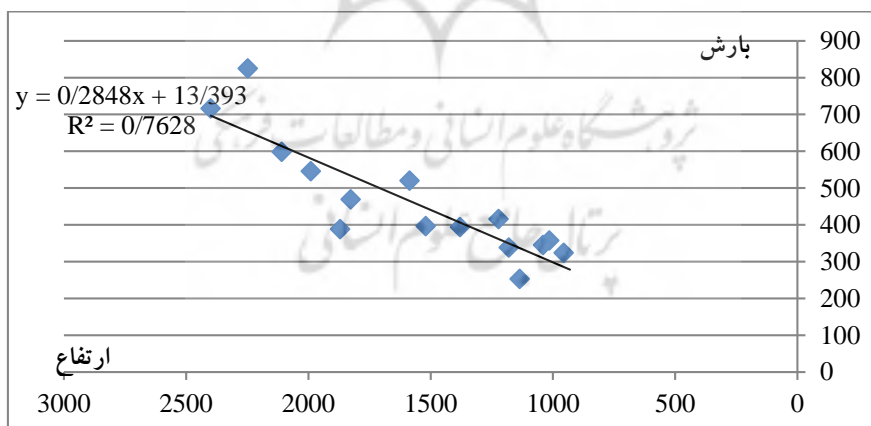
ارضی در محدوده شیب ۱۰-۲۰ درصد رخداده‌اند؛ فقط در جنس بازالت تراکم زمین‌لغزش در شیب ۲۰-۴۰ درصد است (شکل ۵ ج).

جدول ۴- رخ داد زمین‌لغزش به تفکیک لیتولوژی‌های غالب در طبقات شیب حوضه شاهرود

	>۶۰	۴۰-۶۰	۲۰-۴۰	۱۰-۲۰	۵-۱۰	۰-۵	طبقات شیب
-	۱	۱۳	۳۷	۱۷	۷		مارن و کنگلومرا
-	-	۱۹	۱۵	۵	۴		بازالت
-	-	۸	۱۳	۳	-		ماسه سنگ
-	-	۵	۱۳	۲	۱		توف سبز
-	۱	۴۸	۸۹	۳۱	۱۴		زمین‌لغزش
-	۰/۵۵	۲۶۷۲۳	۴۸۷۳۳	۱۶۷۹۴	۷/۶۵	(%)	درصد زمین‌لغزش (%)

ارتفاع، نقش حیاتی در تغییر فضای هیدرولوژیکی (رطوبت خاک، جریان آب‌های زیرزمینی) و ثبات شیب دارد (قواتی، ۱۳۹۸)؛ برای بررسی اثر بارش بر رخداد زمین‌لغزش، در نرم‌افزار اکسل بین ارتفاع و میزان بارش ایستگاه‌ها، رابطه رگرسیونی برآورد گردید (شکل ۳). با استفاده از رابطه (۷) با ضریب تبیین ( $R^2=0.7628$ ) و DEM منطقه در نرم‌افزار ArcGIS10.3 ارتفاع لایه بارشی منطقه استخراج گردید (شکل ۵ ت).

$$y=0.2848x+13.393 \quad \text{رابطه (۷)}$$



شکل ۳- نمودار ترسیمی رگرسیونی در اکسل (رابطه ارتفاع و بارش)

برای بررسی اثرگذاری تغییرات بارش بر زمین‌لغزش، سطوح ارضی حوضه شاهرود با استفاده از طبقه‌بندی لیتین اسکی، پهنه‌بندی گردید (جدول ۵).

بررسی توزیع زمین‌لغزش‌ها در واحد سطح اقلیم‌های مختلف بارشی، دال بر این است در محدوده اقلیمی معتدل نیمه‌خشک و معتدل با بارش  $450-685$  میلیمتر بیشترین زمین‌لغزش رخداده است (به ترتیب  $60$  و  $40$  زمین‌لغزش)؛ دقیق در توزیع زمین‌لغزش در واحد سطح (کیلومترمربع)، دال بر آن است که در هر  $14$  کیلومترمربع از اقلیم نیمه‌خشک (بارش  $250-315$  میلیمتر)، سپس در هر  $16$  کیلومترمربع از اقلیم معتدل (بارش  $450-565$  میلیمتر) و بالاخره در سطوح ارضی با اقلیم معتدل نیمه‌خشک در هر  $19$  کیلومترمربع یک زمین‌لغزش رخداده است.

جدول ۵- طبقات بارش بر اساس طبقه‌بندی لیتین اسکی (داودی، ۱۳۹۲)

نام عنصر	نام طبقه	محدوده طبقه اصلی	محدوده طبقه فرعی	زمین‌لغزش	مساحت	تراکم	درصد مساحت
$P < 250$	خشک	$P < 250$	خشک	خیلی خشک	-	-	-
				خشک	$72/14$	-	$1/48$
				خشک ضعیف	$207/24$	$1$	$4/24$
				نیمه‌خشک نسبتاً خشک	$324/36$	$18$	$767$
$250 \leq P < 450$	خشک	$250 \leq P < 450$	نیمه‌خشک	نیمه‌خشک	$422/6$	$30$	$8/91$
				نیمه‌خشک معتدل	$535/42$	$27$	$11/01$
				معتدل نیمه‌خشک	$983/39$	$60$	$20/22$
				معتدل	$961/78$	$40$	$19/77$
$450 \leq P < 800$	معتدل	$450 \leq P < 800$	معتدل	معتدل نیمه مرطوب	$583/47$	$5$	$11/99$
				نیمه مرطوب خفیف	$613/5$	$2$	$12/6$
				نیمه مرطوب	$148/47$	-	$3/05$
				نیمه مرطوب نسبتاً مرطوب	$2/06$	-	$0/04$
$800 \leq P < 1350$	میوه‌گرد	$800 \leq P < 1350$	میوه‌گرد	میوه‌گرد	$800-980$	$800-980$	$800-980$
				میوه‌گرد	$980-1160$	$980-1160$	$980-1160$
				میوه‌گرد	$1165-1350$	$1165-1350$	$1165-1350$
				میوه‌گرد	$1350-1530$	$1350-1530$	$1350-1530$

جاده یکی از عوامل تحریک‌کننده دامنه‌ها برای رخداد زمین‌لغزش، توسط انسان احداث می‌شود که هم به صورت جاده و ریل آهن قابل بررسی است. فاصله زمین‌لغزش‌ها نسبت به جاده در ۷ طبقه،  $0-100$ ،  $100-200$ ،  $200-300$ ،  $300-400$ ،  $400-500$  و  $>500$  متری مورد ارزیابی قرارگرفت (جدول ۶ و شکل ۵ ث).

جدول ۶- رخداد زمین‌لغزش با توجه به فاصله از جاده در حوضه شاهرود

درصد لغزش	تعداد لغزش	فاصله از جاده	>۱۰۰۰	۵۰۰-۱۰۰۰	۴۰۰-۵۰۰	۳۰۰-۴۰۰	۲۰۰-۳۰۰	۱۰۰-۲۰۰	۰-۱۰۰
٪۱۶	٪۱۴	٪۳۰	٪۲۵	٪۱۵	٪۲۴	٪۱۴	٪۱۲	٪۱۵	٪۴۱
٪۱۹	٪۲۲	٪۸	٪۱۳	٪۸	٪۱۳	٪۱۲	٪۱۱	٪۱۲	٪۴

گسل نیز منجر به اختلاف ارتفاع می‌شود؛ هرچقدر اختلاف ارتفاع ناشی از گسل بیشتر و فاصله از گسل کمتر باشد، تأثیر آن بیشتر خواهد شد؛ با توجه به ایجاد شکستگی در لایه‌ها، وجود گسیختگی و خرد شدن توده‌های سنگی، سیستمی از درزهای شکاف‌ها در مسیر گسل ایجاد می‌شود و در نتیجه با افزایش نفوذ آب به داخل زمین، مقاومت برشی دامنه کاهش می‌پابد و بستر مناسب برای لغزش فراهم می‌گردد ([صفاری، ۱۳۹۵](#)). برای بررسی اثرگذاری گسل بر زمین لغزش، بافرهایی با فواصل ۵۰۰ متری از گسل‌های منطقه استخراج و تحلیل گردید. به دلیل اثر کمتر فاصله از گسل بر زمین لغزش‌های حوضه شاهرود، نسبت به اثرگذاری فاصله از دو عامل خطی قبلی، فاصله از گسل با اختلاف ۵۰۰ متری طبقه‌بندی و ارزیابی گردید. از اعداد [جدول \(۷\)](#) برمی‌آید که هرچند در تعداد زمین لغزش‌های رخ داده تا ۱۵۰۰ متری از گسل کاهش قابل تأملی دیده می‌شود ولی از فاصله ۱۵۰۰ تا ۲۰۰۰ متری افزایش و از فاصله به بعد تغییرات چندان قابل توجهی در تعداد زمین لغزش‌ها دیده نمی‌شود ([شکل ۵ خ](#)).

**جدول ۷- رخ داد زمین لغزش با توجه به فاصله از گسل در حوضه شاهرود**

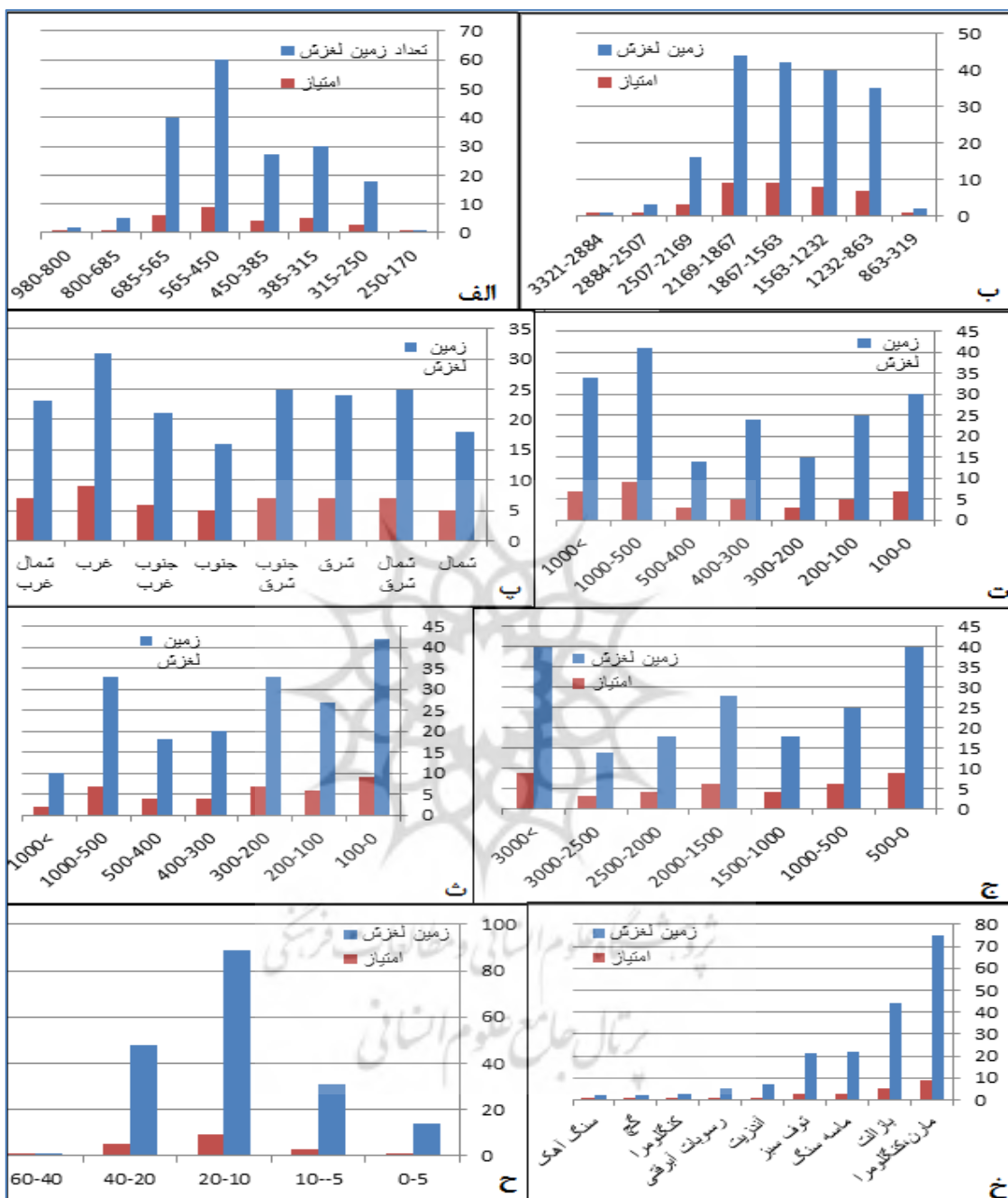
فاصله از گسل	تعداد لغزش	درصد لغزش
>۳۰۰۰	۴۰	%۲۲
۲۵۰۰-۳۰۰۰	۱۴	%۸
۲۰۰۰-۲۵۰۰	۱۸	%۱۰
۱۵۰۰-۲۰۰۰	۲۸	%۱۵
۱۰۰۰-۱۵۰۰	۱۸	%۱۰
۱۰۰۰-۵۰۰	۲۵	%۱۴
۰-۵۰۰	۴۰	%۲۲

رودخانه نقش منفی در پایداری یک دامنه از طریق برش فرسایش، اشباع دامنه‌ها و افزایش نفوذ آب دارد ([قنواتی، ۱۳۹۸](#)). فواصل از رودخانه در ۷ طبقه کلاسه‌بندی شد ([جدول ۸](#)). هرچقدر فاصله از رودخانه کمتر و شرایط شیب و جنس زمین مساعدتر باشد، بستر ایجاد زمین لغزش، مساعدتر می‌گردد ([شکل ۵ خ](#)).

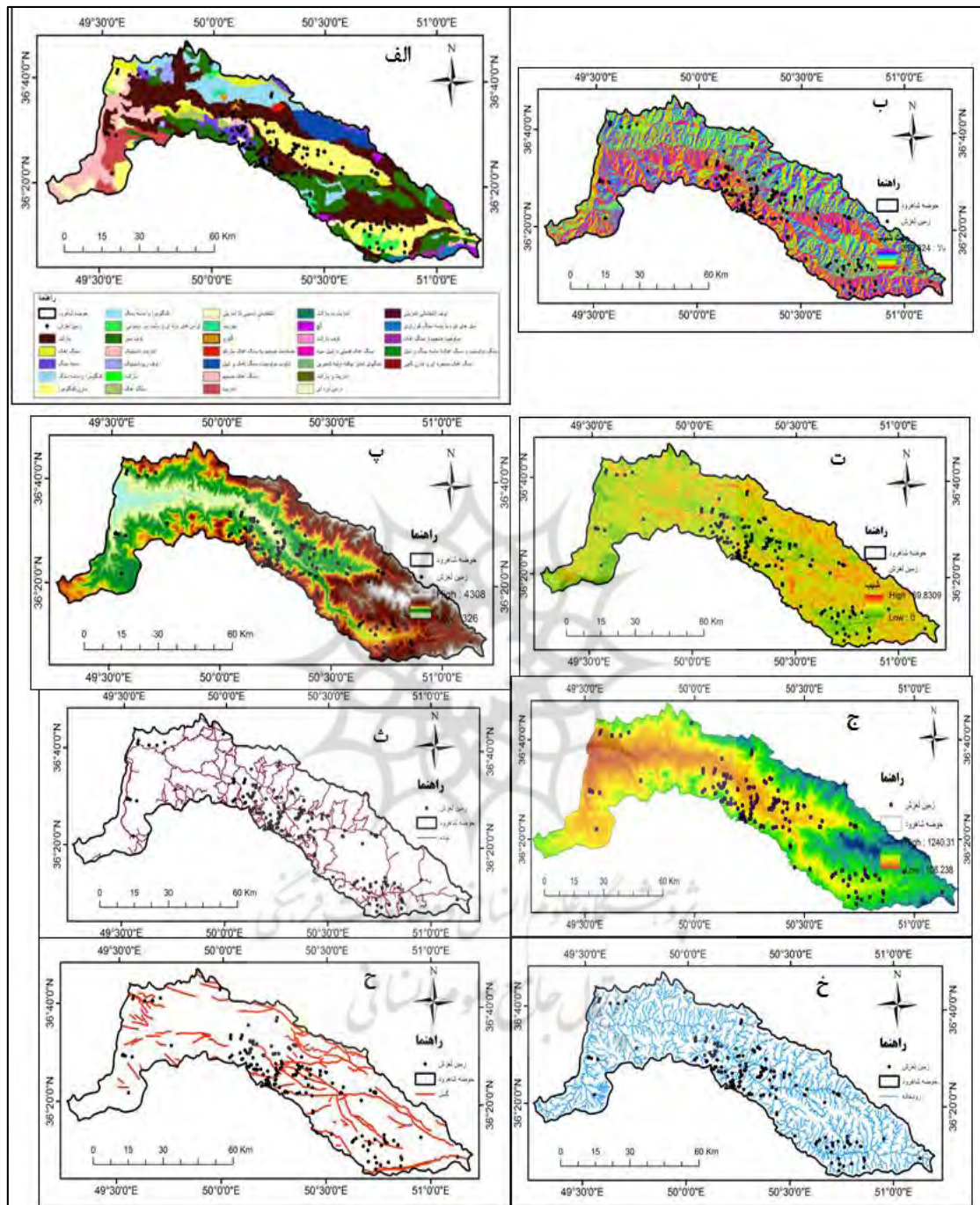
**جدول ۸- رخداد زمین لغزش با توجه به فاصله از رودخانه در حوضه شاهرود**

فاصله از رودخانه	تعداد لغزش	درصد لغزش
>۱۰۰۰	۱۰	%۵
۵۰۰-۱۰۰۰	۳۳	%۱۸
۴۰۰-۵۰۰	۱۸	%۱۰
۳۰۰-۴۰۰	۲۰	%۱۱
۲۰۰-۳۰۰	۳۳	%۱۸
۱۰۰-۲۰۰	۲۷	%۱۵
۰-۱۰۰	۴۲	%۲۳

با استفاده از یافته‌های ناشی از ارزیابی عوامل مختلف، به هر بازه از متغیرهای وابسته به عوامل مختلف اثرگذار (شیب، جهت شیب، ارتفاع، فاصله از جاده، فاصله از رودخانه، فاصله از گسل، بارش و نوع لیتولوژی)، امتیازی بین ۱ تا ۹ داده شد ([شکل ۴](#))؛ و با توجه به امتیازهای اختصاص داده شده به هر عامل، لایه‌های اطلاعاتی زمین لغزش برای اجراء در مدل آنتروپی شانون استخراج گردید (برای بعضی از عوامل که لایه به صورت وکتوری بود به رستر تبدیل گردید) ([شکل ۵](#)).



شکل ۴- امتیاز اختصاص یافته به هر یک از عوامل هشتگانه مؤثر در زمین‌لفرش حوضه شاهروд. (الف) بارش. (ب) ارتفاع. (پ) جهات‌های جغرافیایی. (ت) فاصله از جاده. (ث) فاصله از رودخانه. (ج) فاصله از گسل. (ح) طبقات شیب. (خ) لیتو‌لوزی.



شكل ۵- عوامل مؤثر در زمین‌لغزش حوضه‌ی شاهروود (الف. لیتولوژی، ب. جهت شیب، پ. ارتفاع، ت. شبیب، ج. بارش، فاصله از ث. جاده، ح. گسل، خ. رودخانه)

پس از تبدیل معیارها به عدد صحیح و تشکیل ماتریس اولیه، مقدار  $Pij$  با استفاده از رابطه (۱) و مقدار  $K$  از رابطه (۳) به دست آمده است و برای محاسبه  $Ej$  برای هر عامل از رابطه (۲) استفاده شده است (جدول ۹). در رابطه (۲)،  $(Ej)$  از توزیع احتمال ( $Pi$ ) بر اساس سازوکار آماری محاسبه شده و مقدار آن در صورت تساوی ( $Pi$ ) ها با یکدیگر، بیشترین مقدار ممکن خواهد بود (صغرپور، ۱۳۸۵). در گام بعدی عدم اطمینان یا درجه انحراف هر معیار ( $Dj$ ) که از کسر مقدار ( $Ej$ ) از عدد ۱ حاصل می‌شود (رابطه ۴) برآورد گردید. سرانجام با استفاده از رابطه (۶) وزن هر یک از عوامل زمین‌لغزش در ماتریس آنتروپی ( $Wj$ ) محاسبه گردید (محمدخان، ۱۳۹۳). عواملی که بیشترین تأثیر را بر وقوع زمین‌لغزش داشته‌اند به ترتیب مربوط به لیتولوژی (۲۰/۹) و شب (۲۰/۱) است. همان‌طور که از جدول (۱۰) بر می‌آید لیتولوژی مارن و کنگلومرا بیشترین تأثیر را بر وقوع زمین‌لغزش‌ها داشته است. عوامل دیگر به‌نهایی در رخداد زمین‌لغزش مؤثر نیستند و در ترکیب با عوامل دیگر و با برهمکنش با هم منجر به وقوع زمین‌لغزش شده‌اند.

جدول ۹- شاخص‌های محاسبه شده برای عوامل مؤثر در زمین‌لغزش

شاخص‌ها	شب	جهت شب	ارتفاع	فاصله از جاده	فاصله از رود	فاصله از گسل	بارش	لیتولوژی
$E_j$	۰/۹۷۰۹۳۴	۰/۹۸۳۵۸۸	۰/۹۸۹۱۹۴	۰/۹۸۹۷۲۴	۰/۹۸۹۷۱۹	۰/۹۹۰۶۰۲	۰/۹۹۶۸۶۵	۰/۹۷۰۲۶
$D_j$	۰/۰۲۹۰۶۶	۰/۰۱۶۴۱۲	۰/۰۱۰۸۱	۰/۰۱۰۲۷۶	۰/۰۱۰۲۸۱	۰/۰۰۹۳۹۸	۰/۰۰۳۱۳۵	۰/۰۲۲۹۷۴
$W_j$	۰/۰۲۰۴۴۸۹	۰/۰۲۷۹	۰/۰۸۳۶۵۵	۰/۰۹۱۵۰۸	۰/۰۹۱۴۶۵	۰/۰۹۶۱۸۵	۰/۱۴۶۰۸	۰/۲۵۸۷۱۸

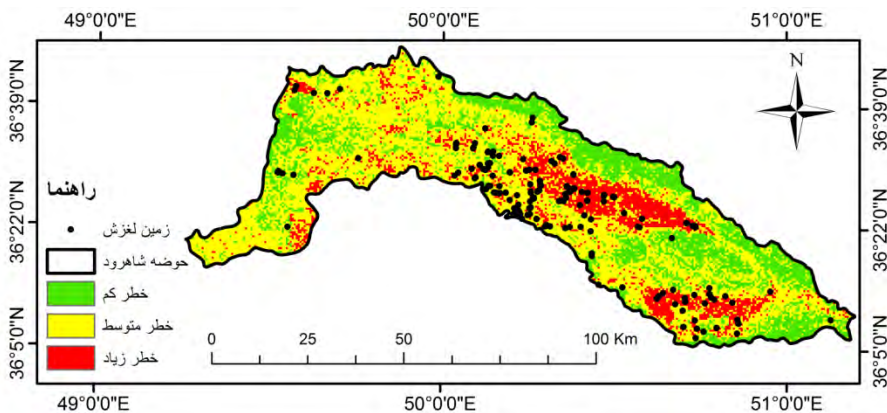
جدول ۱۰- درصد تأثیر عوامل مؤثر در زمین‌لغزش‌ها

درصد تأثیر	شب	جهت شب	ارتفاع	فاصله از جاده	فاصله از رود	فاصله از گسل	بارش	لیتولوژی	عواامل مؤثر
۲۰/۱	۲۰/۸	۲۰/۱	۸/۴	۹/۲	۹/۲	۹/۷	۱۴/۷	۲۵/۹	درصد تأثیر

بعد از امتیازدهی و استخراج لایه‌های رسترنی، امتیاز داده شده از طریق رابطه (۸) بر روی لایه‌ها در ArcGIS اعمال گردید و نقشه نهایی خطر زمین‌لغزش حوضه شاهروド استخراج گردید (شکل ۶).

$$Hj = (S \times 0.2) + (L \times 0.26) + (E \times 0.08) + (DR \times 0.09) + (A \times 0.02) + (R \times 0.15) + (Df \times 0.09) + (Dr \times 0.09) \quad (رابطه ۸)$$

در رابطه (۸)،  $S$ : شب،  $L$ : لیتولوژی،  $E$ : ارتفاع،  $DR$ : فاصله از رودخانه،  $A$ : جهت جغرافیایی،  $R$ : بارش،  $Df$ : فاصله از گسل،  $Dr$ : فاصله از جاده می‌باشد.



شکل ۶- نقشه پهنه بندی خطر زمین لغزش حوضه شاهرود

بر اساس [شکل \(۶\)](#) وضعیت سطوح ارضی در پهنه های مختلف از نظر خطر زمین لغزش مشخص گردید و توزیع سطوح حوضه شاهرود از این نظر برآورد شد ([جدول ۱۱](#)).

جدول ۱۱- مساحت و درصد پهنه های خطر زمین لغزش حوضه شاهرود

منطقه	مساحت (کیلومترمربع)	درصد مساحت	تعداد زمین لغزش	درصد زمین لغزش
کم خطر	۲۶۳/۴۷	۵/۴۴	۴	۲/۱۹
خطر متوسط	۲۰۰۳/۸	۵۲/۷۶	۴۲	۲۲/۹۵
پر خطر	۲۰۲۲/۸۵	۴۱/۷۹	۱۳۷	۷۴/۸۶
مجموع	۴۸۴۰/۱۳	۱۰۰	۱۸۳	۱۰۰

بر اساس [جدول \(۱۱\)](#) که خلاصه ای از کاربرد مدل آنتروپی شانون در پهنه بندی سطوح ارضی حوضه شاهرود از نظر زمین لغزش است، پهنه های پر خطر ۴۱/۷۹٪ و متوسط ۵۲/۷۶٪ از مساحت حوضه را به خود اختصاص داده اند. ترکیب لایه های هشت گانه اثر گذار، مورفولوژی منطقه و توزیع زمین لغزش های رخداده در حوضه شاهرود دال بر تراکم پهنه های خطر و زمین لغزش در دو قسمت مختلف حوضه است: یکی در مرکز زیر حوضه طالقان جایی که گسترش حوضه به گونه ای بوده که در گذشته طبق یافته های ([صمدزاده، ۱۳۹۸](#)) به صورت حوضه آبریز بسته بوده و دریاچه طالقان نام داشته و در شرایط کونی نیز با احداث سد طالقان نقش دریاچه سد را اعمال می نماید و دیگری بعد از پیوستن حوضه الموت با طالقان و شکل گیری رودخانه شاهرود است که نقش زمین لغزش ها را در وحدت سرشاخه های اصلی و شکل گیری شاهرود نشان می دهد؛ چرا که در هر دو منطقه عرض حوضه ها گسترش پیدا می کند و حریم اثر گذاری رودخانه ها بیشتر شده است. تمرکز زمین لغزش در دامنه های جنوبی این مناطق بیشتر شده

و محل فرود خط الرأس ارتفاعات شمالی قزوین، شکل گرفته و ارتباط بین حوضه شاهرود با قزوین و دیگر ساکنان ایران مرکزی، از طریق چندین گردنه فراهم شده است. اثرگذاری بردارهای مختلف مؤثر بر زمین‌لغزش در حوضه شاهرود به‌گونه‌ای است که با توجه به تراکم زمین‌لغزش‌های رخداده و پهنه‌بندی خطر زمین‌لغزش به روشنان، می‌توان چنین اذعان نمود که یکی از مهم‌ترین عوامل تغییردهنده لندفرم‌های حوضه، در طی کواترنری، زمین‌لغزش و حرکات دامنه‌ای بوده است.

#### ۴- جمع بندی

زمین‌لغزش یکی از این رخدادهای ژئومورفولوژیکی است که شناخت دقیق آن مورد توجه محققان مختلف علوم زمین و بخصوص ژئومورفولوژیست‌ها است؛ عوامل متعددی زمین‌لغزش را تحت تأثیر قرار می‌دهند که با توجه به بردار فضا - زمان، نقش علت لازمه و کامله، در هر موقعیت زمانی و مکانی، به یکی از آن‌ها بیشتر معطوف می‌شود. گسل، آبراهه، جاده لیتولوژی، شب، جهت شب، مقدار بارش و ارتفاع عواملی هستند که در وقوع زمین‌لغزش‌های حوضه شاهرود این مقاله مورد بررسی قرار گرفتند. توزیع زمین‌لغزش در لیتولوژی‌های مارن، کنگلومرا، ماسه سنگ، توف سبز و بازالت، دال بر این است که تراکم زمین‌لغزش‌ها بیشتر از میزان حساسیت لیتولوژی در مقابل فرسایش تبعیت می‌نماید؛ وقوع زمین‌لغزش در لیتولوژی‌های مقاوم‌تر، ناشی از میانکنش عوامل دیگر اثرگذار با عامل لیتولوژی است. بیشترین زمین‌لغزش‌ها در مناطق پر خطر پهنه‌بندی شانون، در لیتولوژی‌های مارن، کنگلومرا و بازالت (۶۴/۹۷ درصد از زمین‌لغزش‌ها) رخداده‌اند. مناطق پر خطر لیتولوژی مارن در حوضه طالقان در اطراف رودخانه اصلی و در حوضه شاهرود و الموت نیز علاوه بر اطراف رودخانه‌های اصلی، در قسمت آبگیر سرشاخه‌ها، از محل خروج از سینوژیت‌های کوهستان تا محل ریزشگاه به رودخانه اصلی رخداده‌اند. همچنین مناطق لیتولوژی بازالت در ادغام با مناطق پر خطر در حوضه طالقان، الموت و شاهرود، اغلب در مجاورت لیتولوژی مارن رخداده‌اند. اکثر زمین‌لغزش‌ها در لیتولوژی بازالت در مکانی رخداده‌اند که فرسایش فهقرایی مسلط در لیتولوژی‌های حساس در مقابل فرسایش، در مجاورت لیتولوژی بازالت، تغییر شب شدیدی را به وجود آورده‌اند. علاوه بر آن قرارگیری یا هم‌جواری لیتولوژی مقاوم در مقابل فرسایش (کنگلومرا)، درین یا مجاورت لیتولوژی‌های آسیب‌پذیرتر (مارن سیلتستون)، شرایط وقوع زمین‌لغزش را بسیار مساعدتر نموده است؛ زمین‌لغزش‌های بزرگی همچون معلم کلایه در چنین شرایطی رخداده است. در اثرگذاری شب به عنوان یک عامل در وقوع زمین‌لغزش، این‌گونه تصور می‌شود که با افزایش شب سطوح ارضی، احتمال وقوع زمین‌لغزش نیز بیشتر می‌شود؛ در صورتی که بررسی‌های انجام شده نشان داد که هرچند افزایش شب می‌تواند یکی از عوامل اثرگذار بر زمین‌لغزش باشد ولی تراکم زمین‌لغزش‌ها در شب بین ۱۰-۲۰ درصد بیشتر از سایر شب‌های است؛ چرا که لیتولوژی‌های حساس در مقابل فرسایش اکثراً در چنین شبی قرار گرفته یا در طی زمان چنین شبی‌ای بیدا کرده‌اند؛ استثناء اثرگذاری شب در لیتولوژی بازالت دیده می‌شود که زمین‌لغزش‌های این نوع از

سنگ بیشتر در شیب ۴۰-۲۰ درصد رخداده است؛ انتباق پهنه‌بندی شیب و مناطق خطر زمین‌لغزش حوضه شاهرود، دال بر این است که تمرکز مناطق پرخطر در شیب‌های ۴۰-۱۰ درصد اتفاق افتاده است؛ ۷۶/۷۴ درصد زمین‌لغزش‌ها در این طبقه از شیب اتفاق افتاده است. نزدیکی به جاده یکی از عوامل اثرگذار بر زمین‌لغزش محسوب می‌شود؛ بررسی‌های به عمل آمده نشان داد که علی‌رغم کاهش زمین‌لغزش‌ها با دور شدن از جاده ولی تراکم زمین‌لغزش‌ها در فاصله ۴۰۰-۵۰۰ متری، بیشتر از طبقه ماقبل خود است. بردار رودخانه با شستشوی دامنه‌ها، حمل رسوبات آبرفتی، حفر مسیر خود و پایین‌انداختن سطح اساس در رخداد زمین‌لغزش نقش مهمی دارد. در بررسی اثرگذاری رودخانه، مشخص گردید که تعداد زمین‌لغزش‌ها با فاصله از رودخانه کاهش می‌یابند ولی در فاصله ۳۰۰-۲۰۰ متری، زمین‌لغزش‌های بیشتری نسبت به طبقه ماقبل، رخداده است. بیشترین زمین‌لغزش‌ها در طبقات بارشی نیمه‌خشک و معتدل (۳۱۵-۶۸۵ میلی‌متر)، رخداده‌اند (۷۹/۸۵ درصد). بیشترین زمین‌لغزش در فاصله ۳۰۰-۰ متر از رودخانه (۷۴/۵۵ درصد)، در فاصله ۵۰۰-۰ متر از گسل و در فاصله ۱۰۰۰-۵۰۰ متر از جاده رخداده‌اند. وقوع اکثر زمین‌لغزش‌ها در ارتفاع بین ۲۱۶۹-۸۶۲ متر، در حوضه‌ای که سطوح ارضی‌ای تا ارتفاع بیش از ۴۰۰۰ متر دارد دلیل دیگری بر اثرگذاری میانکنش عوامل اثرگذار است. میانکنش بین بردارهای شناخته شده و عوامل محیطی نادیده گرفته شده به گونه‌ای عمل کرده که بیشترین زمین‌لغزش‌ها در سطوح ارضی با بارش ۳۱۵-۲۵۰ و ۴۵۰-۵۶۵ میلی‌متر رخداده. با این که شیب‌هایی که در سطوح ارضی به سمت شمال دارند، باتوجه به زمان پاسخ طولانی‌تر در مقابل بارش، برای وقوع زمین‌لغزش مساعدتر هستند ولی باتوجه به برهمکنش با عوامل دیگر، زمین‌لغزش‌ها به ترتیب در جهات غربی، شمال‌غرب، جنوب‌غرب، شمال و جنوب، رخداده‌اند. چنین تغییراتی در توزیعی زمین‌لغزش می‌تواند تبعیت غیرخطی این رخداد رئومورفولوژیکی را از عوامل اثرگذار نمایان نماید و نشان دهد آنچه بیش از همه در وقوع زمین‌لغزش اهمیت دارد برهمکنش بین عوامل است تا اثرگذاری عوامل به صورت مجرد و انتزاعی. در نتیجه نباید بررسی اجزاء، محقق را از درک کل بازدارد چرا که معمولاً کل مجموعه ریاضی از اجزاء نیست و در سیستم‌های باز که معمولاً مورد توجه علوم زمین قرار دارند، در وقوع رخدادهای، کل بیش از مجموع اجزاء، نقش ایفا می‌کند.

مناطق پرخطر بیشتر در نزدیکی رودخانه‌های الموت و طالقان و شاهرود (پس از ادغام) اتفاق افتاده است. در حوضه طالقان این مناطق در سطوح ارضی وابسته به دامنه‌های شمالی تمرکز بیشتری دارند؛ در صورتی که در حوضه الموت، این مناطق در دامنه‌های جنوبی رودخانه الموت در نزدیکی روستاهای آوانک، زرشک رود سفلی، یالان، فیشان بیشتر می‌شود. در حوضه شاهرود این مناطق در دامنه‌های شمالی حوضه تمرکز بیشتری دارند تا در دامنه‌های جنوبی. باتوجه به جهات جغرافیایی هشتگانه بیشترین زمین‌لغزش‌ها در سطوح ارضی با جهت غربی اتفاق افتاده است که در ادغام با مناطق پرخطر در حوضه طالقان در نزدیکی روستاهای فشنده کرو، گلیروه، ارموت و کشرون و در حوضه الموت و شاهرود در نزدیکی روستاهای فیشان، امیران، میانخانی، حسن‌آباد، چرشدره، حسن‌آباد و سرخه

دوزدک رخداده‌اند. بیشترین زمین‌لغزش‌ها در ارتفاع بین ۸۲۳–۲۱۶۹ متر رخداده‌اند (۸۷/۹۷ درصد) و در انطباق با مناطق پر خطر در حوضه طالقان در نزدیکی روستاهای گلبرود، میان بیشه، جزینان، دنبلید و کش رود واقع شده‌اند.

#### کتابنامه

- احمدی، حسن؛ ۱۳۹۱. ژئومورفو‌لولوژی کاربردی. تهران: انتشارات دانشگاه تهران. چاپ هشتم. ۶۸۸ ص.
- احمدی، زهرا؛ ۱۳۹۳. معماری پایدار: الگوهای پایداری در معماری ایران. تهران: نشر اول و آخر. ۱۳۲ ص.
- اصغر پور، محمدجواد؛ ۱۳۸۵. تصمیم‌گیری‌های چندمعیاره. چاپ چهارم. ۴۰۰ ص.
- پاسبان، عفت، خدابخش، سعید، غریب‌رضا، محمدرضا؛ ملکی، مهری؛ رفیعی، بهروز؛ ۱۳۹۶. برآورد و واکاوی رواناب و انتقال رسوب و تأثیر آن بر سیستم رسوبی رودخانه‌های الموت و شاهرود (شمال استان قزوین). دوفصلنامه رسوب‌شناسی کاربردی. ۵(۹)، ۹۹-۱۱۵.
- <http://doi.org/10.22084/psj.2017.1958>

خسروی، مریم؛ سلاجمقه، علی؛ مهدوی، محمد؛ محسنی ساروی، محسن؛ ۱۳۹۱. پیش‌بینی سیل با استفاده از شبکه عصبی مصنوعی و رگرسیون چندمتغیره غیرخطی (مطالعه موردی: طالقان). مرتع و آبخیزداری. شماره ۶۵. دوره ۳. ۳۴۱-۳۴۹.

<http://doi.org/10.22059/jrwm.2012.30022>

دارابی شاهماری، سحر؛ صفاری، امیر؛ ۱۳۹۸. برآورد حساسیت زمین‌لغزش با استفاده از مدل رگرسیون لجستیک و شاخص آنتروپی (مطالعه موردی: ارتفاعات شهرستان دالاهو). نشریه تحلیل فضایی مخاطرات محیطی. سال ششم. شماره ۲. ص ۱۶۵-۱۸۰.

<http://doi.org/10.29252/jsaeh.6.2.165>

داودی، محمود؛ بای، ناصر؛ ابراهیمی، امید؛ ۱۳۹۲. طبقه‌بندی اقلیمی استان مازندران بر اساس روش لیتین اسکی. فصلنامه علمی-پژوهشی اطلاعات جغرافیایی «سپهر». دوره ۲۲. شماره ۸۸. ص ۱۰۵-۱۰۰.

[https://www.sepehr.org/article\\_25656.html](https://www.sepehr.org/article_25656.html)

دریو، ماکس؛ ۱۳۸۹. مبانی ژئومورفولوژی. ترجمه: مقصود خیام. انتشارات مینا. چاپ پنجم. ۳۹۲ ص.

راس، کلی؛ ۱۳۸۹. مبانی فلسفی و روانشناسی ادراک فضای. مترجم: آرش ارباب جلفایی. نشر خاک. اصفهان. ۱۲۴ ص.

روستایی، شهرام؛ مختاری کشکی، داود؛ اشرفی فینی، زهرا؛ ۱۳۹۹. پنهان‌بندی خطر زمین‌لغزش در حوضه آبریز طالقان با استفاده از شاخص آنتروپی شانون، نشریه علمی جغرافیا و برنامه‌ریزی. سال ۲۴. شماره ۷۱. ص ۱۵۰-۱۲۵.

<http://doi.org/10.22034/GP.2020.10631>

رولف، دوبلي؛ ۱۳۹۴. هنر شفاف اندیشیدن. مترجم: عادل فردوسی پور، بهزاد توکلی و علی شهرور. تهران: نشر چشمه. ۳۲۵ ص.

سازمان جغرافیایی نیروهای مسلح، نقشه‌های توپوگرافی ۱/۵۰۰۰۰.

سازمان زمین‌شناسی کشور، نقشه زمین‌شناسی ۱/۲۵۰۰۰۰۱ قزوین-رشت.

سازمان وزارت نیرو (شرکت مدیریت منابع آب ایران)، دفتر مطالعات پایه منابع آب.

شاه زیدی، سمیه سادات؛ حیاتی زاده، رؤیا؛ ۱۳۹۸. بررسی زمین‌لغزش‌های منطقه پشت کوه فریدون‌شهر با استفاده از مدل آنتروپی. جغرافیا و توسعه. شماره ۵۴. ص ۵۰-۳۷.

<http://doi.org/10.22111/gdij.2019.4337>

صفاری، امیر؛ هاشمی، معصومه؛ ۱۳۹۵. پهنه بندی حساسیت وقوع زمین لغزش با مدل های آنتروپی و منطق فازی (مطالعه موردي: شهرستان کرمانشاه). *فصلنامه جغرافیای طبیعی*. سال نهم. شماره ۳۴. ص ۶۲-۴۳.

[https://jopg.larestan.iau.ir/article\\_531681.html](https://jopg.larestan.iau.ir/article_531681.html)

صمدزاده، رسول؛ ۱۳۹۸. *ژئومورفولوژی ایران*، انتشارات سمت (سازمان مطالعه و تدوین کتب علوم انسانی دانشگاهها). چاپ اول. ۴۸۶ ص.

فلاح زзолی، محمد؛ وفایی نژاد، علیرضا؛ آل شیخ، علی اصغر؛ مدیری، مهدی؛ ۱۳۹۸. پهنه بندی احتمال وقوع زمین لغزش با استفاده از مدل های آنتروپی شانون و ارزش اطلاعات در محیط GIS، *مطالعه موردي: بخش رودبار الموت شرقی استان قزوین*. *فصلنامه علمی - پژوهشی اطلاعات جغرافیایی (سپهر)*. دوره ۲۸. شماره ۱۱۲. ص ۱۲۳-۱۲۲.

<https://doi.org/10.22131/sepehr.2020.38611>

فیض‌الله‌پور، مهدی؛ منافی، مرضیه؛ خوشرفتار، رضا؛ خسروی، یونس؛ ۱۴۰۰. پهنه بندی خطر زمین لغزش با استفاده از مدل آنتروپی شانون (مطالعه موردي: حوضه آبریز طالقان). *نشریه تحقیقات کاربردی علوم جغرافیایی*. سال بیست و یکم. شماره ۶۲. ص ۹۵-۱۱۴.

<http://doi.org/10.52547/jgs.21.62.95>

قنواتی، عزت‌الله؛ احمدآبادی، علی؛ غلامی، معصومه؛ ۱۳۹۸. ارزیابی حساسیت زمین لغزش با استفاده از شاخص آنتروپی و الگوریتم ماشین‌های پشتیبان بردار (مطالعه موردي: حوضه آبخیز کن). *پژوهش‌های ژئومورفولوژی کمی*. سال هشتم. شماره ۱. ص ۳۳-۱۶.

[https://www.geomorphologyjournal.ir/article\\_91723.html](https://www.geomorphologyjournal.ir/article_91723.html)

قهربانی، شهاب؛ ثروتی، محمدرضا؛ ۱۳۸۷. *مطالعه ژئومورفولوژی و فرسایش در حوضه آبریز الموت رود، جغرافیایی سرزمین*. دوره ۵. شماره ۱. ص ۶۲-۴۵.

[https://sarzamin.srbiau.ac.ir/article\\_5834.html](https://sarzamin.srbiau.ac.ir/article_5834.html)

محمدخان، شیرین؛ ویسی، عبدالکریم؛ باقری، کیوان؛ ۱۳۹۳. پتانسیل سنگی خطر زمین لغزش با استفاده از مدل آنتروپی، *مطالعه موردي: منطقه کوهستانی شیر پناه در جنوب غرب استان کرمانشاه*. *فصلنامه جغرافیایی سرزمین*. سال یازدهم.

شماره ۴۴. ص ۱۰۲-۸۹.

مصطفایی، جمال؛ اونق، مجید؛ مصداقی، منصور؛ شریعت جعفری، محسن؛ ۱۳۸۸. مقایسه کارایی مدل های تجربی و آماری پهنه بندی خطر زمین لغزش (مطالعه موردي: آبخیز الموت رود). *مجله پژوهش‌های حفاظت آب و خاک*. جلد شانزدهم.

شماره چهارم. ص ۶۱-۶۳.

مقیمی، ابراهیم؛ باقری سید شکری، سجاد؛ صفرراد، طاهر؛ ۱۳۹۱. پهنه بندی خطر وقوع زمین لغزش با استفاده از مدل آنتروپی (مطالعه موردي: تاقدیس نسار زاگرس شمال غربی). *پژوهش‌های جغرافیایی طبیعی*. شماره ۷۹. ص ۹۰-۷۷.

<http://doi.org/10.22059/JPHGR.2012.24735>

مقیمی، ابراهیم؛ علوی‌پناه، سید‌کاظم؛ جعفری، تیمور؛ ۱۳۸۷. ارزیابی و پهنه بندی عوامل مؤثر در وقوع زمین لغزش دامنه های شمالی آلاذع (مطالعه موردي: حوضه زهکشی چnarان در استان خراسان شمالی). *پژوهش‌های جغرافیایی*.

شماره ۶۴. ص ۷۵-۵۳.

مقیمی، ابراهیم؛ نگهبان، سعید؛ ۱۳۹۱. بررسی فرسایش در حوضه آبخیز رودخانه شور فدامی (استان فارس) با استفاده از مدل آنتروپی. *پژوهش‌های جغرافیایی طبیعی*. سال ۴۴. شماره ۳. ص ۱-۱۶.

<http://doi.org/10.22059/JPHGR.2012.29211>

- Annells, R. N., Arthurton, R. S., Bazley, R. A., & Davies, R. G., 1975. Explanatory text of the Qazvin and Rasht quadrangles map: Tehran. *Geological Survey of Iran*, Geological Quadrangles Nos, E3, E4.
- Constantin, M., Bednarik, M., Jurchescu, M. C., & Vlaicu, M., 2011. Landslide susceptibility assessment using the bivariate statistical analysis and the index of entropy in the Sibiciu Basin (Romania). *Environmental earth sciences*, 63(2), 397-406. <https://link.springer.com/article/10.1007/s12665-010-0724-y>.
- Moayeri, M., Ramesht, M. H., Saif, A. Yamani, M., Jafari, G. H., 2011. The impact of mountainous skirts direction of Iran on differences in altitude of wither and ice equilibrium line of the Quaternary. – *Geography and Environmental Planning* 40(4): 1-12. [https://gep.ui.ac.ir/article\\_18474\\_en.html?lang=en](https://gep.ui.ac.ir/article_18474_en.html?lang=en).
- Pasban, E., Khodabakhsh, S., Gharibreza, M., Maleki, M., Rafiei, B., 2017. Estimation and analysis of discharge, sediment transport and its effect on sedimentary processes of Alamut and Shahrud rivers (North of Qazvin Province). *Applied Sedimentology*, 5(9), 99-115. [https://psj.basu.ac.ir/article\\_1958.html](https://psj.basu.ac.ir/article_1958.html).
- Pourghasemi, H. R., Pradhan, B., & Gokceoglu, C., 2012. Remote sensing data derived parameters and its use in landslide susceptibility assessment using Shannon's entropy and GIS. In *Applied Mechanics and Materials* (Vol. 225, pp. 486-491). Trans Tech Publications Ltd. <https://doi.org/10.4028/www.scientific.net/AMM.225.486>
- Shadman Roodposhti, M., Aryal, J., Shahabi, H., & Safarrad, T., 2016. Fuzzy shannon entropy: A hybrid gis-based landslide susceptibility mapping method. *Entropy*, 18(10), 343. <https://doi.org/10.3390/e18100343>.
- Zhao, H., Yao, L., Mei, G., Liu, T., & Ning, Y., 2017. A fuzzy comprehensive evaluation method based on AHP and entropy for a landslide susceptibility map. *Entropy*, 19(8), 396. <https://doi.org/10.3390/e19080396>.

پژوهشگاه علوم انسانی و مطالعات فرهنگی  
پرستال جامع علوم انسانی